

### Spin-Bahn-Kopplung:

$$V(r) = V_{\text{Zentral}}(r) + V_{\text{LS}}(r) \quad \frac{\langle \vec{L} \cdot \vec{S} \rangle}{\hbar^2}$$

$$\vec{j} = \vec{L} \oplus \vec{S} = \begin{cases} (l + \frac{1}{2}) \hbar \\ (l - \frac{1}{2}) \hbar \end{cases}$$

$$W_g \quad \vec{J}^2 = (\vec{L} + \vec{S})^2 = L^2 + S^2 + 2 \vec{L} \cdot \vec{S}$$

$$\rightarrow \frac{\langle \vec{L} \cdot \vec{S} \rangle}{\hbar^2} = \frac{j(j+1) - l(l+1) - s(s+1)}{2} = \begin{cases} \frac{1}{2} & (j = l + \frac{1}{2}) \\ -\frac{(l+1)}{2} & (j = l - \frac{1}{2}) \end{cases}$$

$$\Rightarrow \Delta E_{\text{LS}} = \frac{2l+1}{2} \cdot \langle V_{\text{LS}}(r) \rangle$$

→ LS-Aufspaltung steigt linear mit  $l$  an!

$\langle V_{\text{LS}}(r) \rangle$  negativ (im Gegensatz zum Atom)

→  $l + \frac{1}{2}$  Niveau liegt unter  $l - \frac{1}{2}$  - Niveau

→ bei höherem  $l$  wird LS-Aufspaltung groß und beeinflusst die Lage der „magischen Zahlen“  
(Atom: LS-WW klein im Vergleich zu Schalenabständen)

## Ein-Teilchen, ein-Loch-Zustände

$Z, N = \boxed{\text{magisch} + 1} \Rightarrow 1$  „Valenz“- oder „Leerst“-Nukleon  
bestimmt Quantenzahlen

Doppelt  
Magische Kerne:  $J^P = 0^+$   $\Rightarrow$  Kern Drehimpuls, kein magnet. Moment,  
par. Parität

$Z, N = \boxed{\text{magisch} - 1} \Rightarrow$  verhält sich wie „Loch“ in der  
Festkörperphysik. Quantenzahlen werden  
durch ein fehlenden Zustand  
festgelegt

Magnetische Momente von 1-Teilchen- und 1-Loch-Zuständen  
gut vorhersehbar im Schalenmodell:

$$\mu_{\text{Kern}} = \mu_N \cdot \frac{1}{h} \cdot \sum_{i=1}^A (\vec{l}_i \cdot g_l + \vec{s}_i \cdot g_s)$$

$$g_l = \begin{cases} 1 & \text{Protonen} \\ 0 & \text{Neutronen} \end{cases}$$

$$g_s = \begin{cases} +5.58 & \text{Protonen} \\ -3.83 & \text{Neutronen} \end{cases}$$

# Deformierte Kerne

bisher: Kern ist kugelsymmetrisch. Seit 1935 schon: es gibt Quadrupolmomente.

Ladungsverteilung: Multipolmomente: 0. Dichte

ungerade Momente = 0  
wegen Paritätserhaltung

1. Dipolmoment
2. Quadrupolmoment
3. Oktupolmoment
- ⋮

el. Quadrupolmoment:  $Q = \int (3z^2 - \vec{x}^2) \rho(\vec{x}) d^3x$

Ellipsoid



$$Q = \frac{2}{5} \cdot z \cdot e \cdot (a^2 - b^2)$$

Zigarrenförmig:  $Q > 0$

oblaten förmig:  $Q < 0 \iff$



$$\Delta R = a - b, \quad \delta = \frac{\Delta R}{\langle R \rangle}$$

Deformationsparameter

reduziertes Quadrupolmoment:  $Q_{\text{red.}} = \frac{Q}{z \cdot e \langle R \rangle^2} = \frac{4}{5} \delta$

# Paarungsenergie und Polarisationsenergie

halb gefüllte Schalen:

Atom:

Hund'sche Regel:

$\uparrow \quad \uparrow \quad \uparrow$  ist dann  $\uparrow \downarrow \uparrow \uparrow$   
 $p_x \quad p_y \quad p_z$

Grund: elektrostatische Abstoßung, möglichst großer Abstand

Kern:

gerade umgekehrt: zwei Nukleonen im Mittel anziehende Kraft  $\Rightarrow$

1.) zusätzliche Stabilität durch Paarung zweier Nukleonen mit gleicher Ortswellenfunktion und  $l_1 = l_2, m_1 = -m_2 \Rightarrow \vec{j}_1 + \vec{j}_2 = 0$   
Solche Paare haben  $J^P = 0^+ \Rightarrow$  Paarungsenergie

2.) Nukleonenpaare besetzen bevorzugt benachbarte Orbitale (mit benachbarten  $m$ )  $\Rightarrow$  dadurch entstehen Deformationen

Spin und Parität nicht nur bei doppelt magischen Kernen, sondern immer durch einzelne ungepaarte Nukleonen gegeben! Grundzustand:

gg-Kerne:  $J^P = 0^+$       gu-Kerne:  $J^P = J^P(\text{ungepaartes Nukleon})$

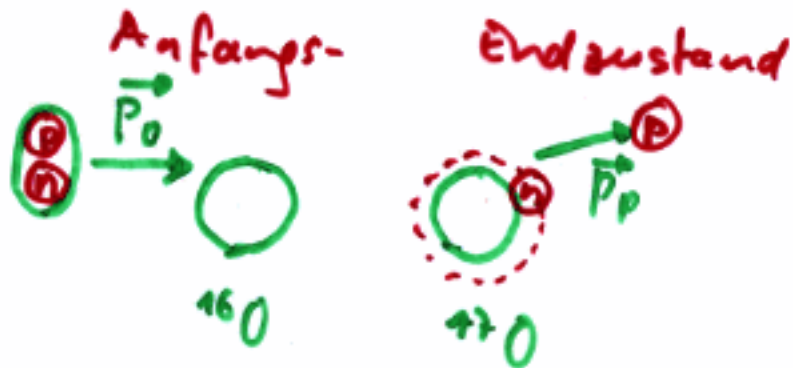
uu-Kerne:  $J^P$  durch Kopplung der beiden ungepaarten Nukleonen

# Kernreaktionen

Schreibweise:  $a + {}^A_Z = b + {}^{A'}_{Z'}$   $\Leftrightarrow {}^A_Z (a, b) {}^{A'}_{Z'}$

Stripping-Reaktionen:  ${}^A_Z (d, p) {}^{A+1}_Z$   ${}^A_Z (d, n) {}^{A+1}_{(Z+1)}$

Deuteron



Wenn  $\vec{p}_p$  groß gegenüber Bindungsenergie des Deuterons, ist quantitative Beschreibung möglich.

Neutron lagert sich am  ${}^{16}_8\text{O}$ -Kern an:

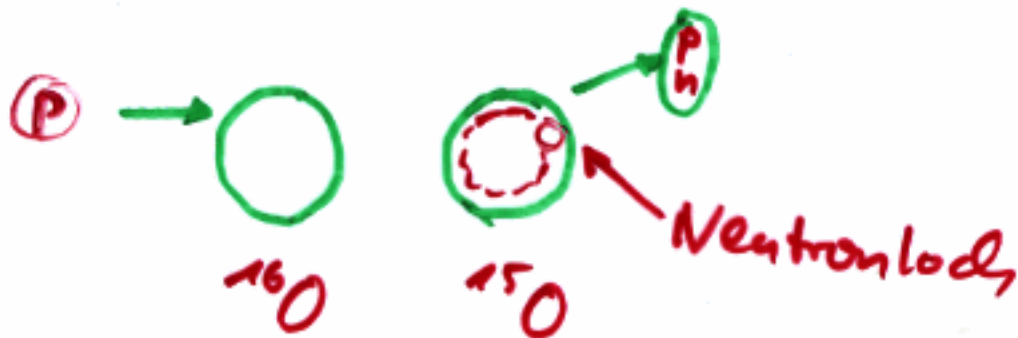
Bahndrehimpuls = Bahndrehimpulsübertrag der Stripping-Reaktion

$L = l \hbar$  auf Kern mit Radius  $R \Rightarrow |q| \approx \frac{l \hbar}{R}$

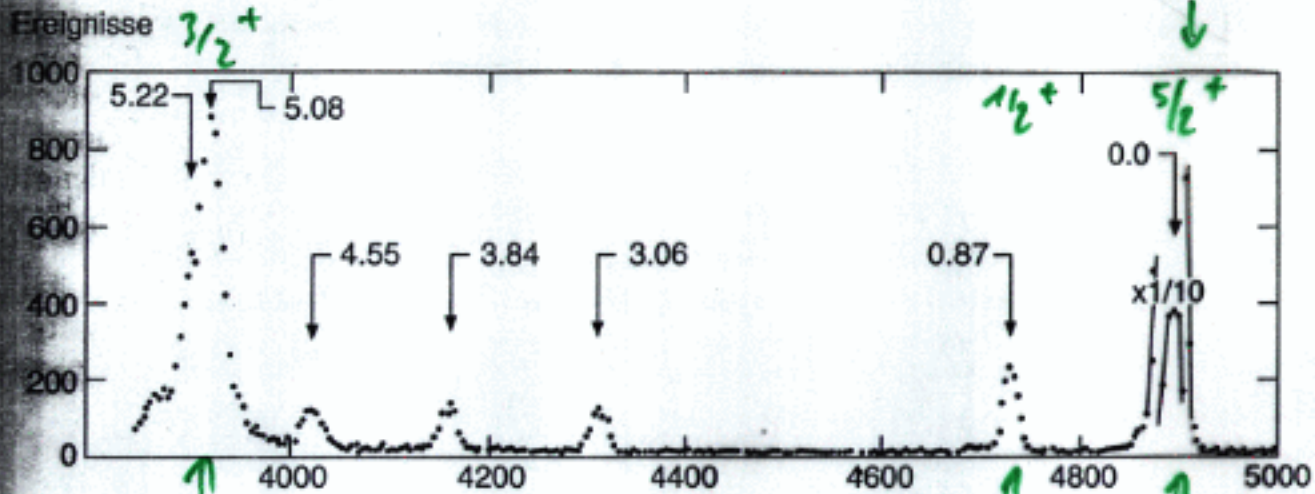
$\Rightarrow$  Maxima in der Winkelverteilung lassen auf  $L$  schließen!

Pick-Up-Reaktionen:

${}^{16}_8\text{O} (p, d) {}^{15}_7\text{O}$



$^{16}\text{O} (d, p) ^{15}\text{O}$



$\theta = 45^\circ$

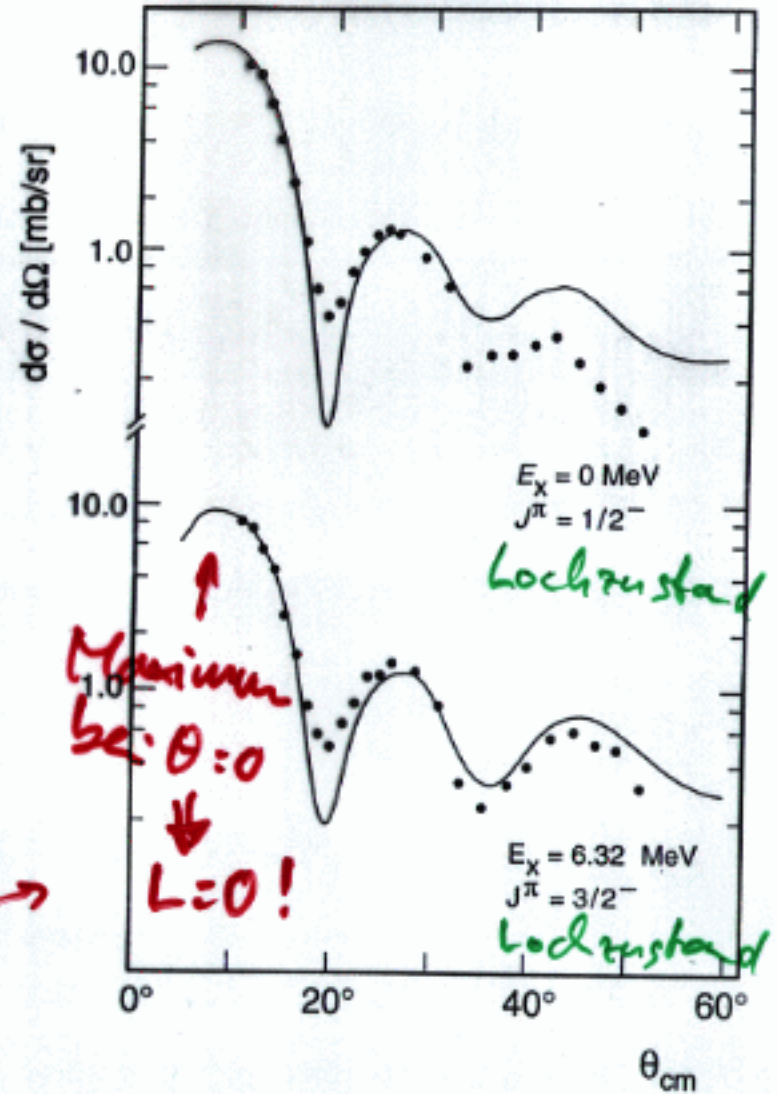
$n-1d_{3/2}$

Grundzustand

Kanalnummer  
 $\propto$  Protonenergie

$n-1d_{5/2}$   
 $n-2s_{1/2}$

$^{16}\text{O} (d, ^3\text{He}) ^{15}\text{N}$



Modellrechnungen gut bei  
kleinen Impulsüberträgen,  
später nicht mehr

## $\beta$ -Zerfall des Kerns

freies Neutron  $n \rightarrow p e^- \bar{\nu}_e$  (durch Umwandlung von  $d \rightarrow u$ )

- im Kern:
- ⊗ Matrixelement enthält Überlapp der Kernwellenfunktionen des Anfangs- und Endzustands
  - ⊗ Different der Bindungsenergie vor und nach Zerfall definiert Typ des Zerfalls ( $\beta^-$  oder  $\beta^+$ ) und Größe des Phasenraums
  - ⊗ Coulomb-WW beeinflusst das Energiespektrum der emittierten  $e^-$  bzw.  $e^+$  und modifiziert den Phasenraum

Phasenraumfunktion  
incl. Coulomb-WW

$$f(z', E_0) = \int_1^{E_0} \epsilon_0 \sqrt{\epsilon_0^2 - 1} \cdot (\epsilon_0 - \epsilon_e) \cdot F(z', \epsilon_e) d\epsilon_0$$

mit  $\epsilon = E/m_0 c^2$

ft-Werte:  $f(z', E_0) \cdot t_{1/2} = ft = \frac{2\pi^3 \hbar^7}{m_e^5 c^4} \ln 2 \frac{1}{V^2} \frac{1}{|M_{fi}|^2} \left\{ \begin{array}{l} 10^3 \text{ sec} \\ \vdots \\ 10^{12} \text{ sec} \end{array} \right.$

$\beta$ -Zerfall : V-A Theorie auf Quark-Ebene

Im Kern: sowohl V als auch A-Anteile

reine V-WW: Fermi-Zerfälle : Spin ändert sich nicht  
Gesamtspin von e und  $\nu_e$  ist Null

reine A-WW: Gamow-Teller-Zerfälle  
Gesamtspin von e und  $\nu_e$  ist 1

Entwicklung nach Bahndrehimpuls :  $\vec{l} = \vec{r} \times \vec{p}$

$$|\vec{p}| \cdot R / \hbar \approx 10^{-2}$$

$\Gamma \propto |M|^2 \Rightarrow$  jede Einheit von  $l$  unterdrückt  $10^{-3} \cdot 10^{-4}$

$l=0$  : erlaubt

$l=1$  : „verboten“

$l=2$  : „zweifach verboten“

} nur wichtig, wenn  
kleinere  $l$  wg.  
Quantenzahlen nicht  
möglich

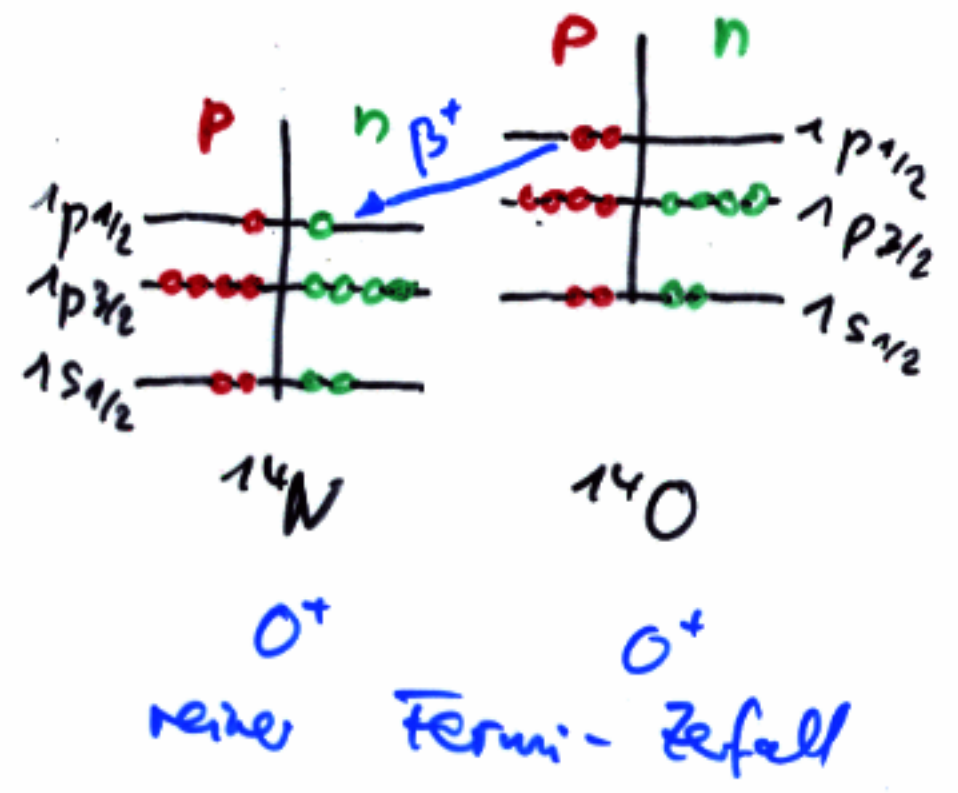
$1^- \rightarrow 0^+$  wg. Parität nicht mit  $l=0$  erlaubt,

also nur mit  $l=1$   
 $^{145}\text{In} (J^P = 9/2^+) \rightarrow ^{145}\text{Sn} (J^P = 7/2^+) \Rightarrow \log(\Gamma) = 22.9 \rightarrow t_{1/2} = 6 \cdot 10^{14} \text{ Jahre (!)}$

# „Übererlaubte Zerfälle“:

$\psi$  Anfang und  $\psi$  Ende haben großen Überlapp  $\Rightarrow$   
 entstehendes P hat gleiche Quantenzahlen wie zerfallendes n  
 beide Kerne in gleichem Isospinmultiplett  
 $t_f \approx t_f(\text{Freies Neutron})$

übererlaubte Zerfälle  
 meistens  $\beta^+$   
 (wegen Coulomb-Energie sind Kerne mit  $Z > N$  weniger stark gebunden)





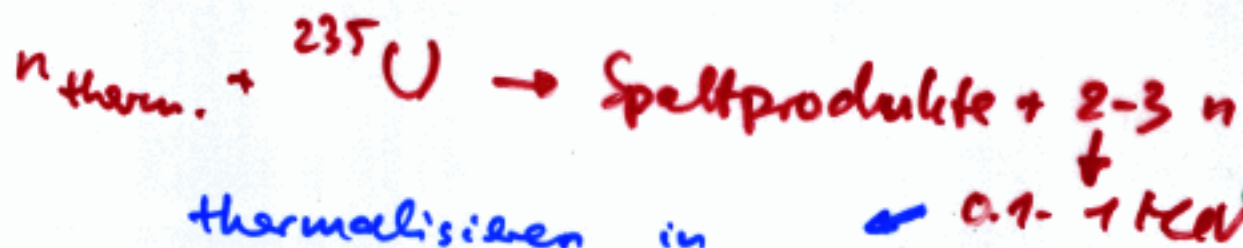
Zerfall in hoch angeregte Tochterzustände

Neutronenreiche Kerne (Spaltprodukte!) zerfallen in einer Serie von  $\beta^-$ -Zerfällen mit viel Energie.

$\Rightarrow$  es entstehen auch hoch angeregte Tochterkerne, die Neutronen emittieren können

$\Rightarrow$  verzögerte Neutronemission (gesteuert von schwacher WW)

$\Rightarrow$  wichtig zur Steuerung von Kernreaktoren

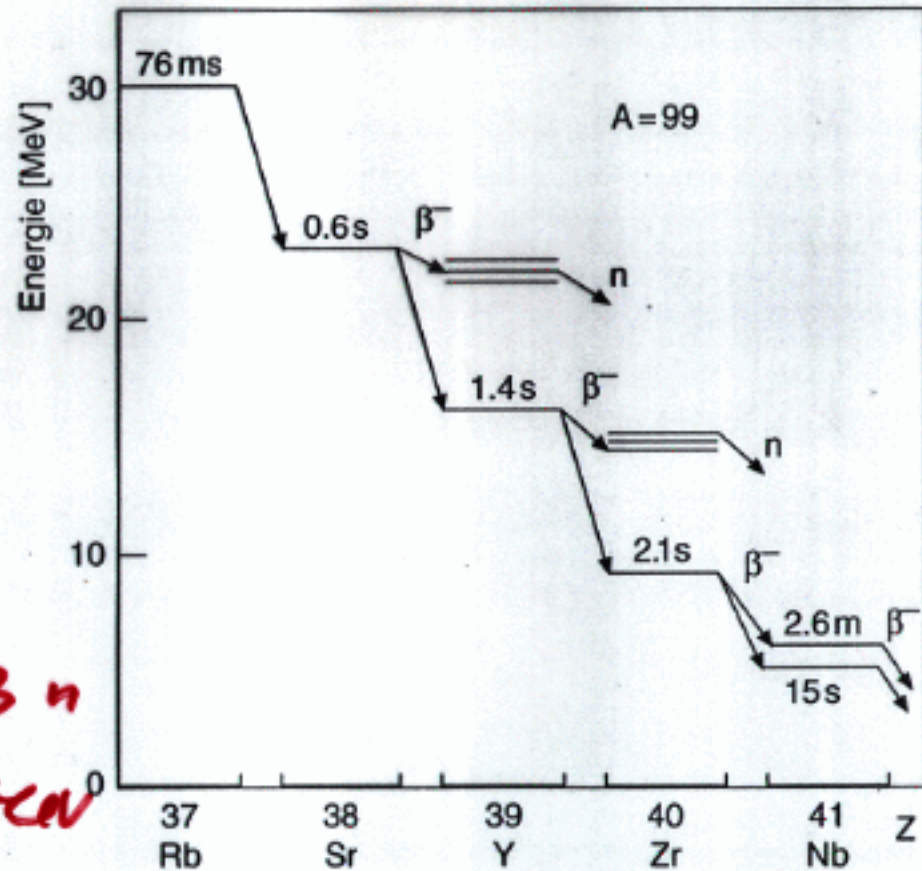


thermalisieren in Moderatormaterial

induzieren weitere Spaltungen

$\Rightarrow$  direkte Neutronen:  $k < 1$

Steuerung auf  $k = 1$  mit verzögerten Neutronen (Zeitkonstante  $\approx 1 \text{ sec}$ )



Isobare mit  $A=99$

Zyklus:  $1 \text{ ms} \Rightarrow$  zu kurz, um Kettenreaktion zu kontrollieren